

9.2. Ligandenfeldtheorie

Deutung der Elektronenspektren

- Absorption bestimmter Frequenzen des eingestrahlten Lichts durch:
- Elektronenübergang zwischen den im Ligandenfeld energetisch abgesenkten und angehobenen d-Orbitalen (sogenannte d-d-Übergänge)
- Ligandenfeldaufspaltung liegt in einem solchen
 Bereich, dass die meisten Komplexe im Sichtbaren absorbieren

10 Dq-Werte in cm⁻¹ · 10³

	Ti ²⁺	V2+	Cr ²⁺	Mn ²⁺	Fe ²⁺	Co ²⁺	Ni ²⁺	Cu ²⁺
CI⁻			17	0				
Br ⁻			18	0				
 -			26	0				
H ₂ O	22	11	16	0	15	14	10	15
d ⁿ	d ²	d ³	d ⁴	d ⁵	d ⁶	d ⁷	d ⁸	d ₉
	abhängig von Liganden und vom Metall							

9.2. Ligandenfeldtheorie

Einflüsse auf die *d*-Orbitalaufspaltung

- bei gleichen Liganden steigen die Dq-Werte mit der Oxidationsstufe des Metalls
- Dq-Werte steigen von einer Übergangsreihe zur nächsten um 30 bis 40 %:

 [Ti(H₂O)₆]³⁺ 10 Dq = 20000 cm⁻¹

 [Zr(H₂O)₆]³⁺ 10 Dq = 26000 28000 cm⁻¹
- Art der Liganden

Konfiguration und LFSE der Ionen d¹ bis d⁵ im oktaedrischen Feld

Elektronenzahl	Konfiguration	LSFE (in Dq)
1	$(t_{2g})^1(e_g)^0$	-4
2	$(t_{2g})^2(e_g)^0$	-8
3	$(t_{2g})^3(e_g)^0$	-12
4	(t _{2g}) ³ (e _g) ¹ high	-6
	$(t_{2g})^4(e_g)^0$ low	-16
5	$(t_{2g})^3(e_g)^2$ high	0
	$(t_{2g})^5(e_g)^0$ low	-20

9.2. Ligandenfeldtheorie

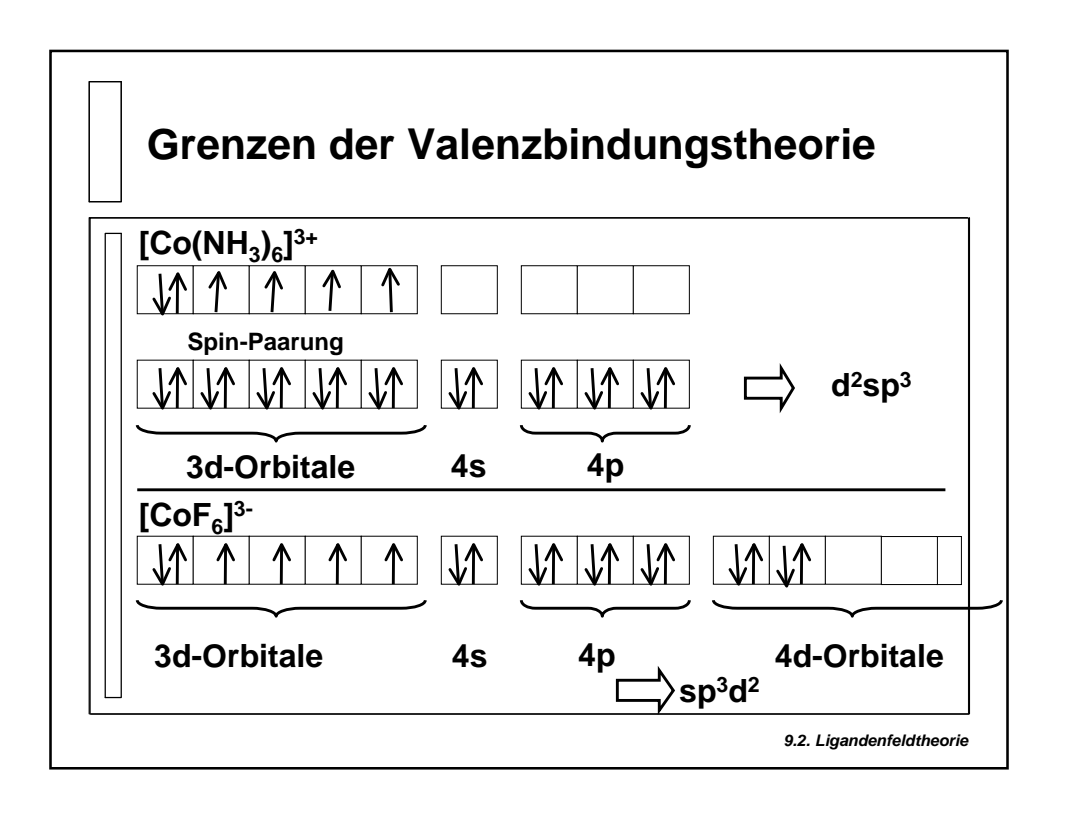
Spektrochemische Reihe

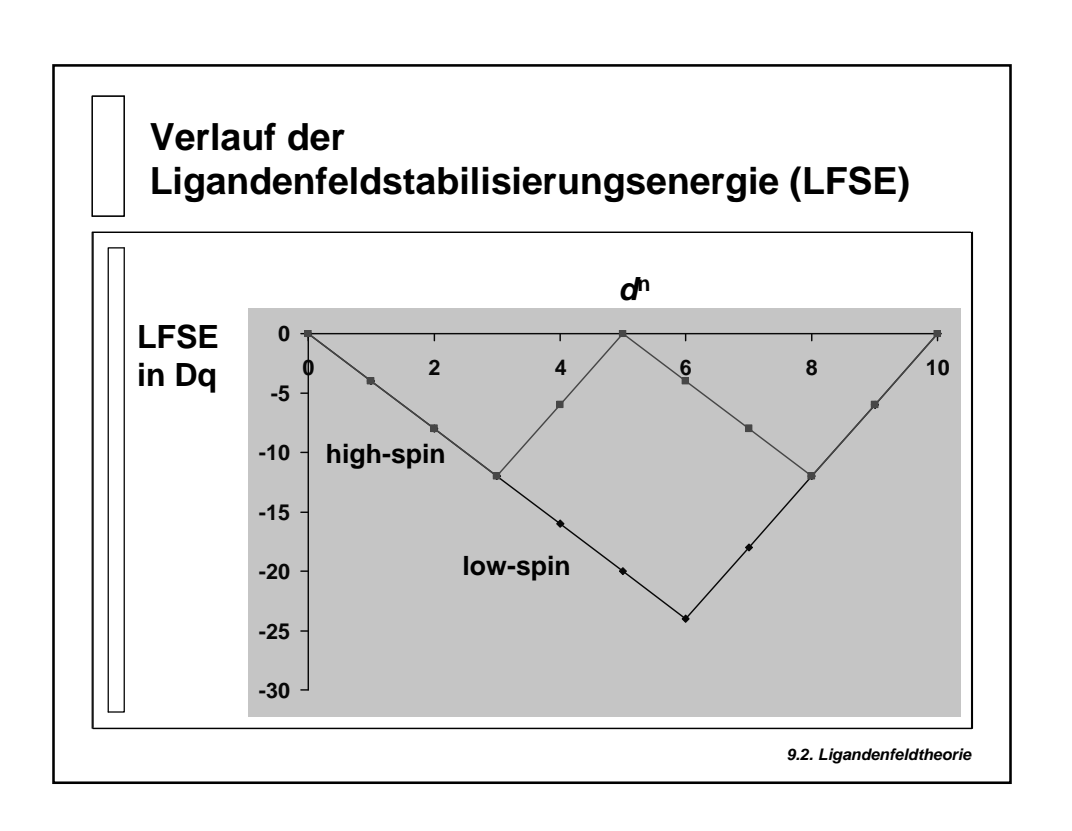
high-spin-Komplexe schwaches Feld

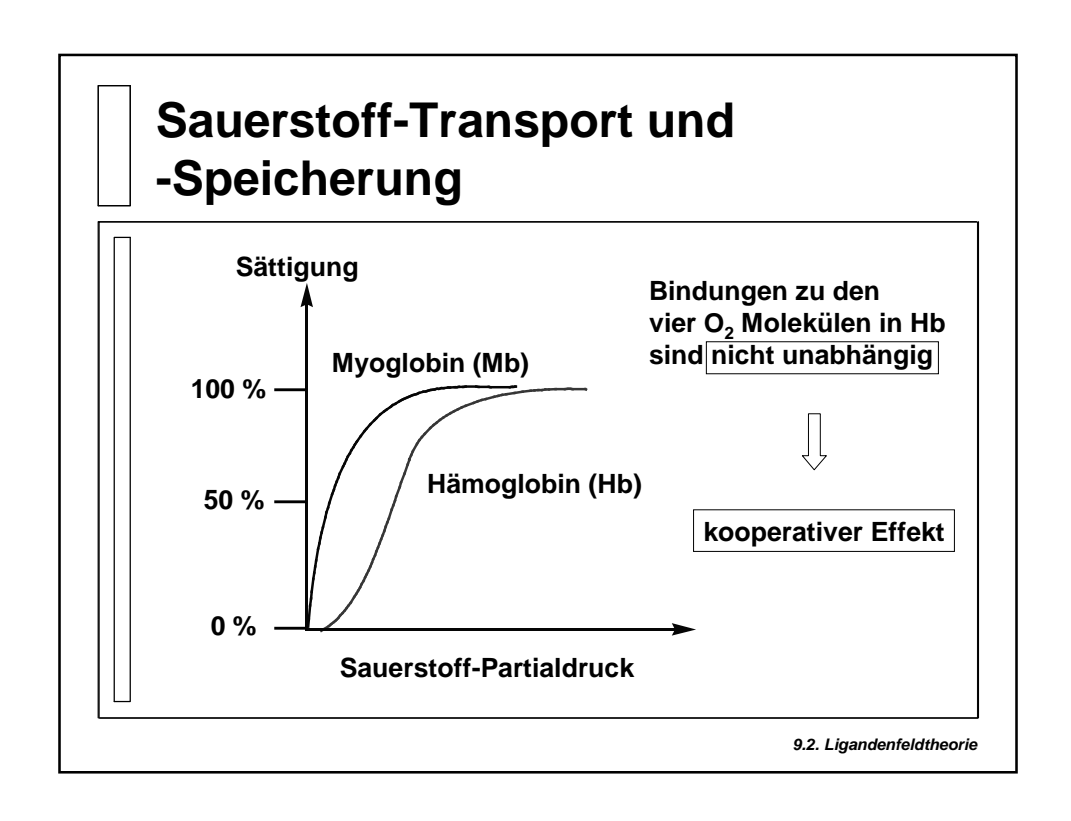
$$I^- < Br^- < S^{2-} < SCN^- < CI^- < NO_3^- < F^- < OH^- < C_2O_4^{2-} \approx O^{2-}$$

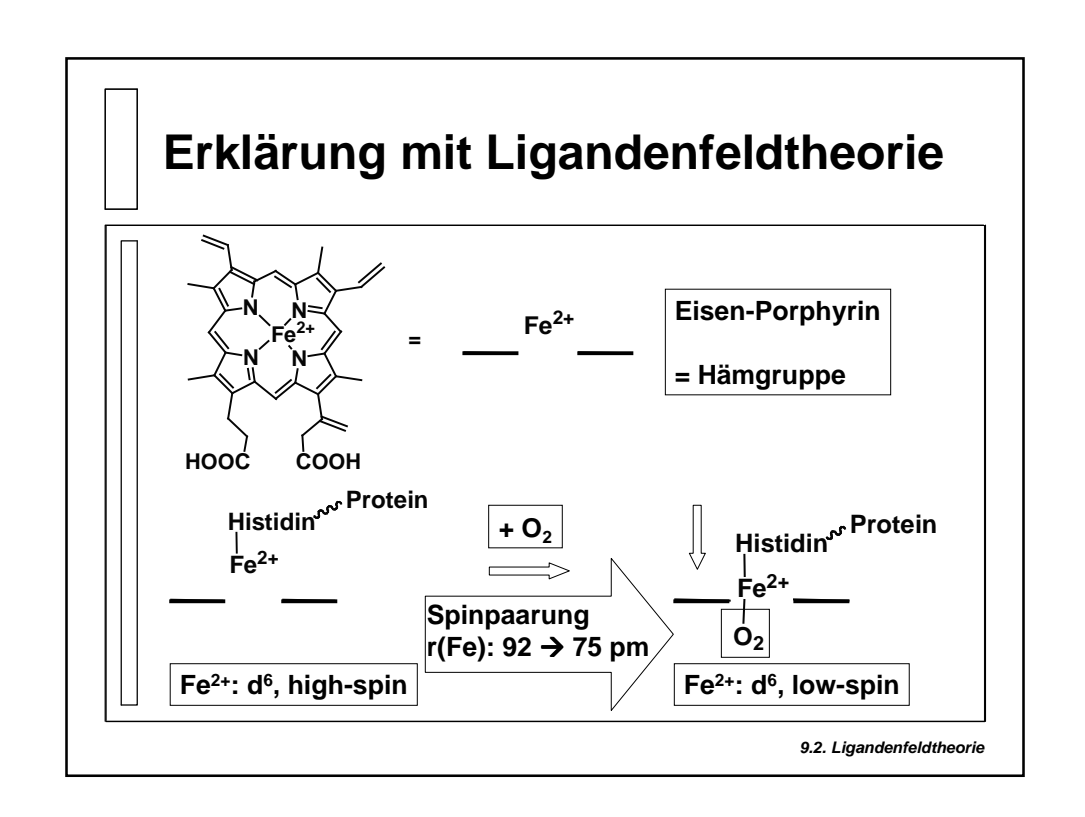
 $< H_2O < NCS^- < NH_3 < en < NO_2^- < CN^- < PR_3 < CO$

low-spin-Komplexe starkes Feld

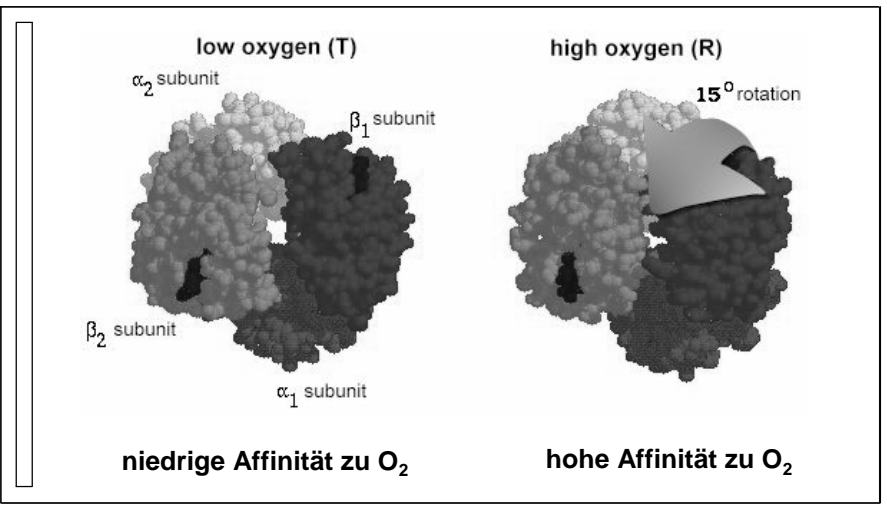






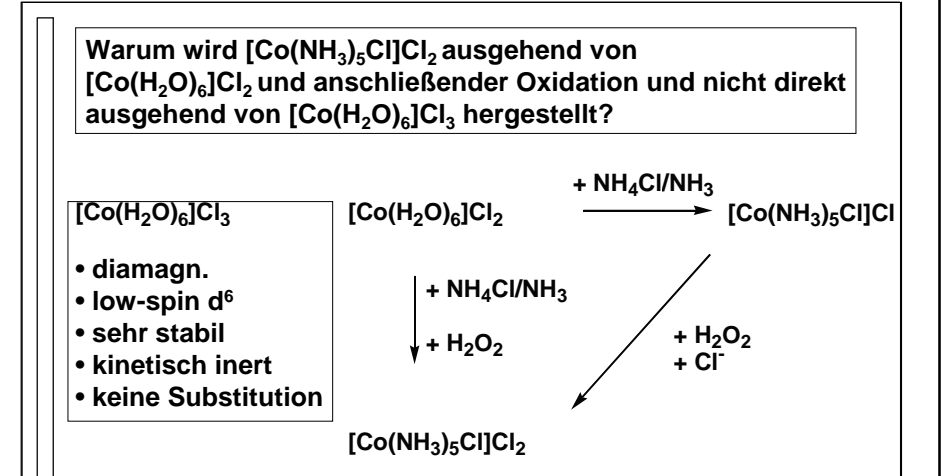


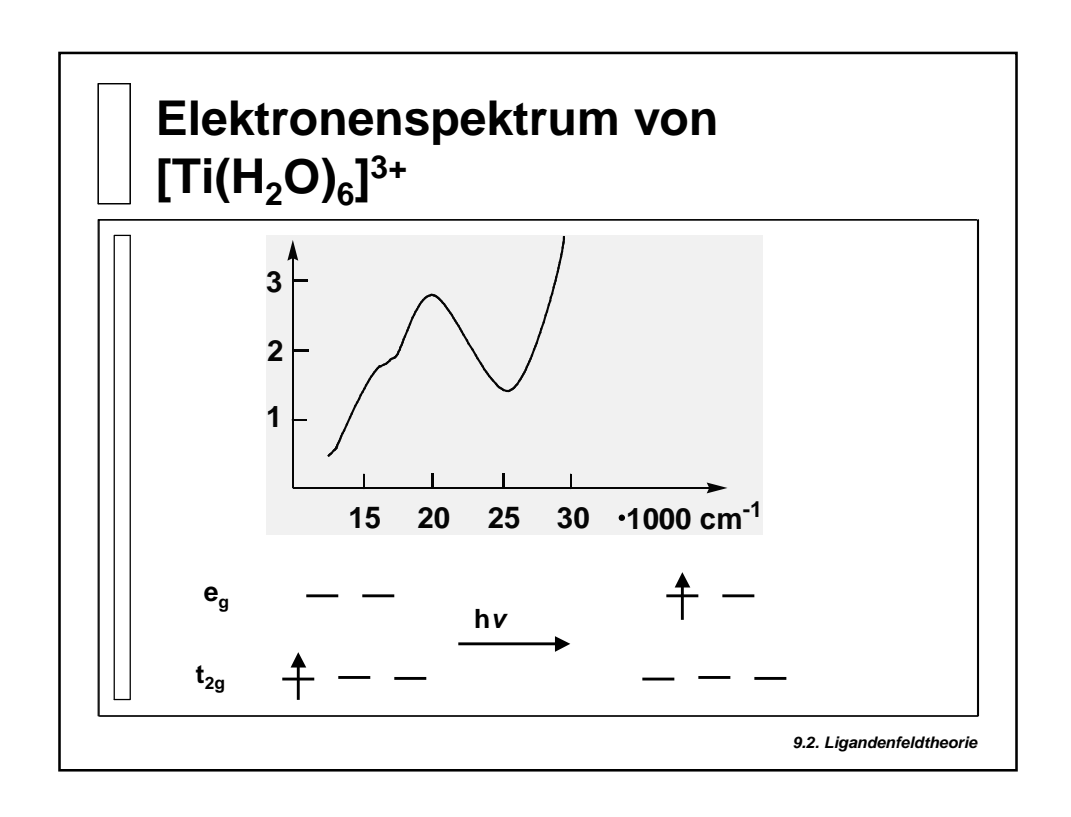
Rotation der Untereinheiten

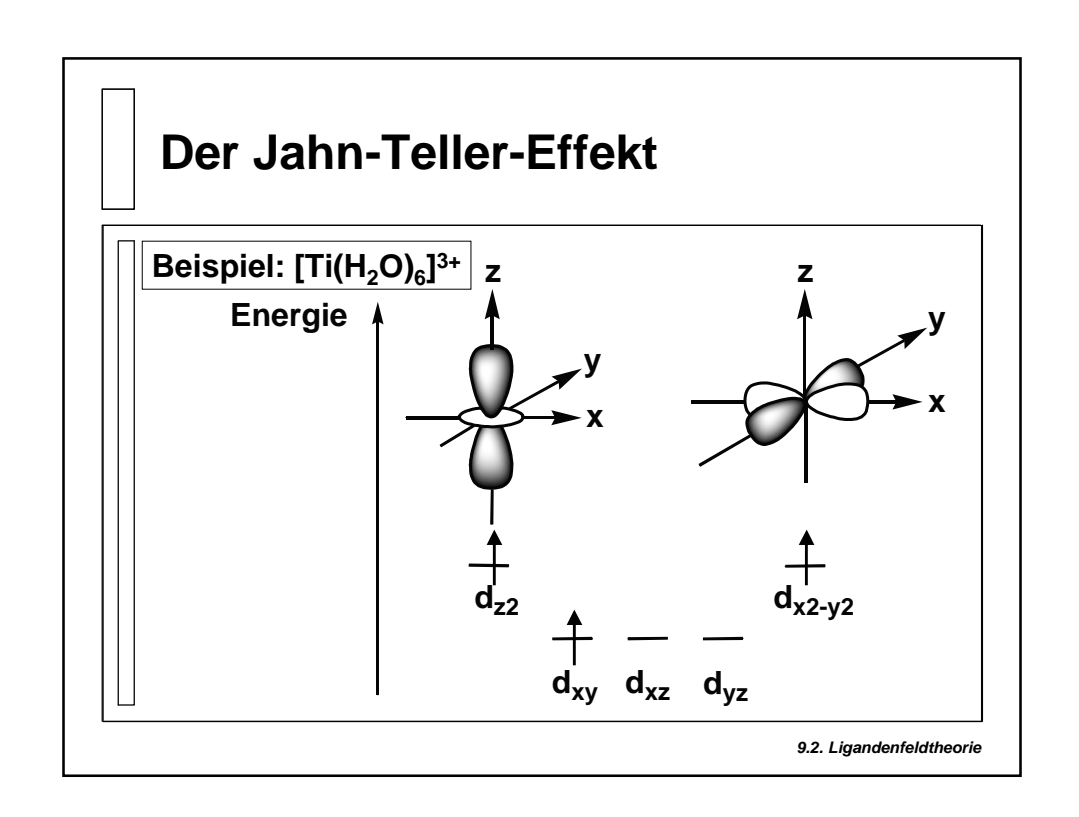


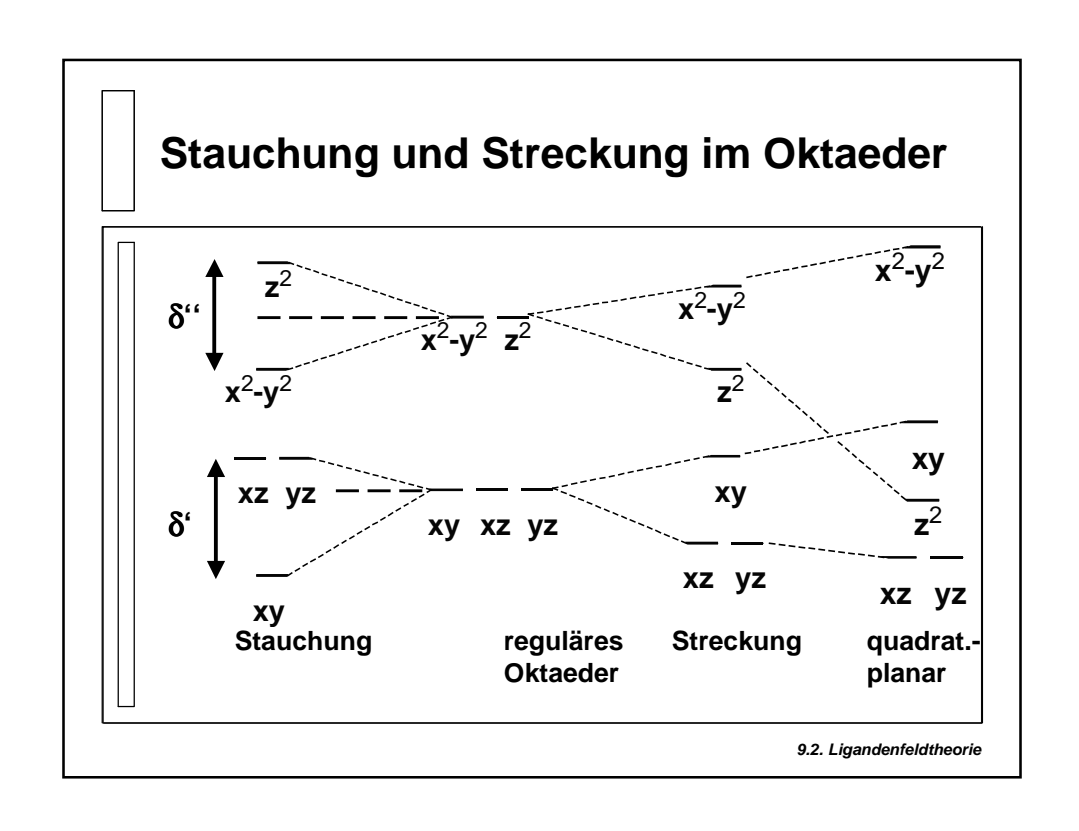
9.2. Ligandenfeldtheorie

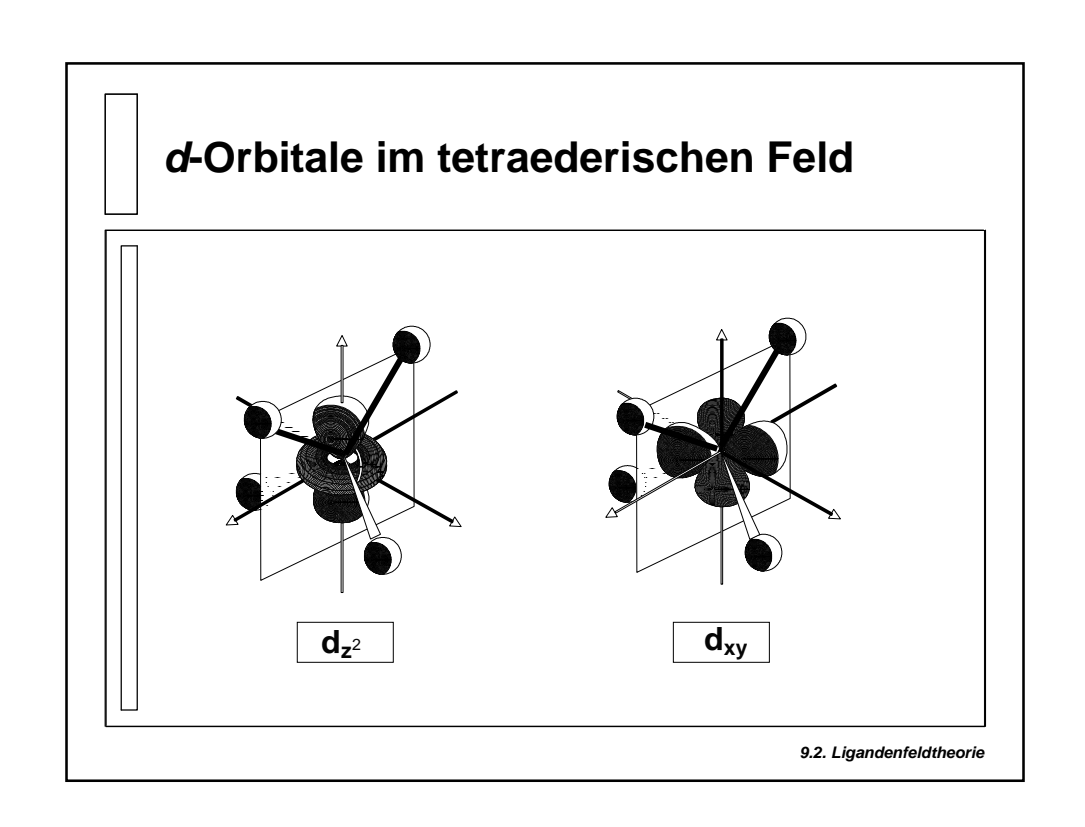
Kinetische Stabilität











Oktaeder oder Tetraeder? Beispiel Cobalt(II)

Feststellung:

häufigere Bildung von tetraedrischen Co(II)- Komplexen als mit andern Metallionen

Im Einklang mit den Werten der LFSE:

 $\label{eq:colline} \begin{tabular}{ll} $[Co(II)L_6]$-Komplexe: & $[Co(II)L_4]$-Komplexe: & $[Co(II]L_4]$-Komplexe: & $[C$

z. B. $[Co(H_2O)_6]^{2+}$ z. B. $[CoCl_4]^2$

 $d^{r} \rightarrow \text{LFSE } (\Delta_{0})$: -8 Dq $d^{r} \rightarrow \text{LFSE } (\Delta_{T})$: -12Dq

- keine quantitativen Vergleiche möglich
- LFSE nur ein Faktor von vielen, der über die Stabilität eines Komplexes entscheidet

9.2. Ligandenfeldtheorie

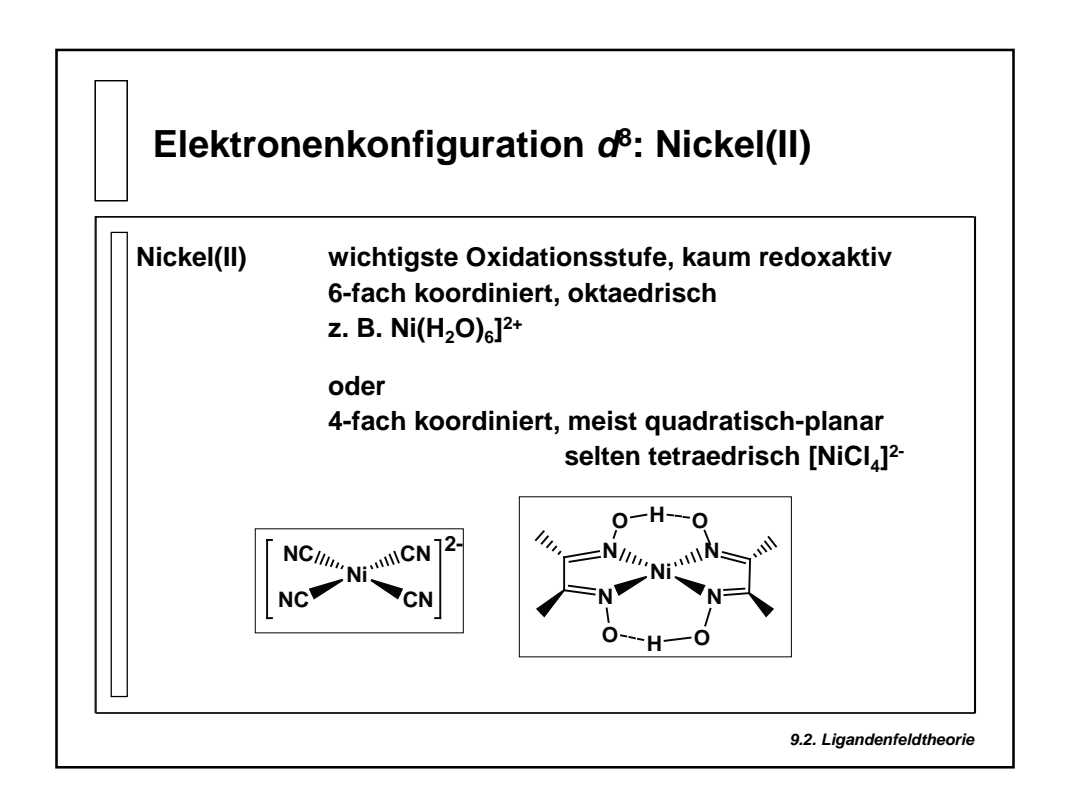
Elektronenkonfiguration d⁸: Gruppe 9

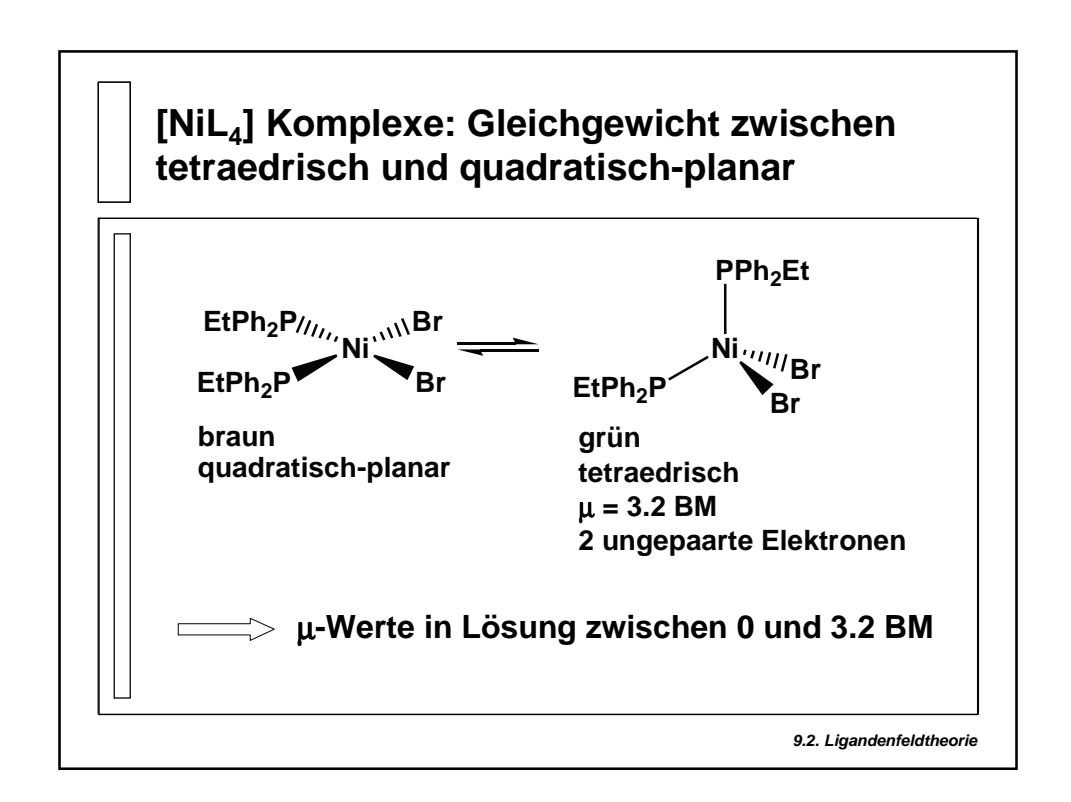
Cobalt(I): seltene Oxidationstufe, meist 5-fach koordiniert

Rhodium(I) Iridium(I)

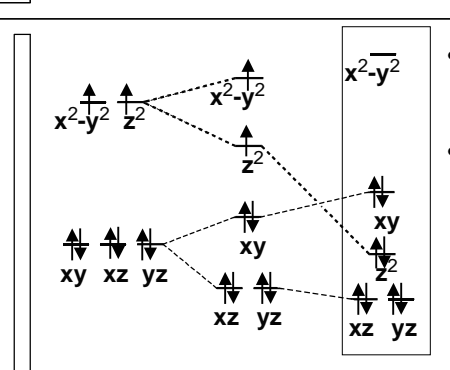
häufigste Oxidationsstufe, meist 4-fach koordiniert quadratisch-planar

Beispiele:





d⁸ im quadratisch-planaren Feld



reguläres tetragonal quadrat.-Oktaeder verzerrt planar

- keine Stabilisierung durch tetragonale Verzerrung (Jahn-Teller)
- Stabilisierung möglich durch Liganden, die ein starkes Feld aufbauen
 - → Stabilisierung groß genug um Spinpaarungsenergie auszugleichen z. B. mit CN⁻
 - → quadr.-planare Komplexe stabiler als tetraedrische und oktaedrische.

9.2. Ligandenfeldtheorie

Elektronenkonfiguration d⁸: Pd(II), Pt(II)

größerer Effekt der Komplexbildung auf die Aufspaltung der d-Orbitale bei Elementen der 2. und 3. Übergangsreihe

Pd(II)- und Pt(II)-Komplexe sind fast ausschließlich:

- 4-fach koordiniert
 - quadratisch-planar und
 - diamagnetisch

Beispiele

 $[PtCl_4]^{2-}$ $[PtCl_3(H_2O)]^{-}$ trans- $[PtCl_2(DMSO)_2]$

 $DMSO = (CH_3)_2SO$

Molekülorbital-Theorie

Grundgedanke

es wird für jedes Metallvalenzorbital eine Überprüfung durchgeführt, ob und wenn ja mit welcher Kombination der Ligandenorbitale eine Wechselwirkung stattfinden kann

9.3. MO-Theorie

